

( ) , ( )

\*

( / / : / / : )

pH  
. (Campillo et al., 1992)

( Manafi,  
. (Kendall et al., 1988) .2004)

. (Miller et al., 1985)

(Jacks et al., 1995)

(West et  
al., 1988)  
(Khademi et al., 1999) ( )  
(Stoops, 2003)

(Nordt et al., 2000)

(Bronger et al., 1994)

(Treadwell et al.,

2000)

(Blank et al., 1990; Srivastava et al., 2001)

CO<sub>2</sub>

(Reynders et al., 1972)

(Wang et al., 1998)

(Treadwell et al., 2000)

Timpson et

(1996) al.,

(Sehgal et al., 1972)

(Wieder et al., 1982)

(1973) Goss et al.,

CO<sub>2</sub>

)

(

%

(2000) Treadwell et al.,

pH

CO<sub>2</sub>

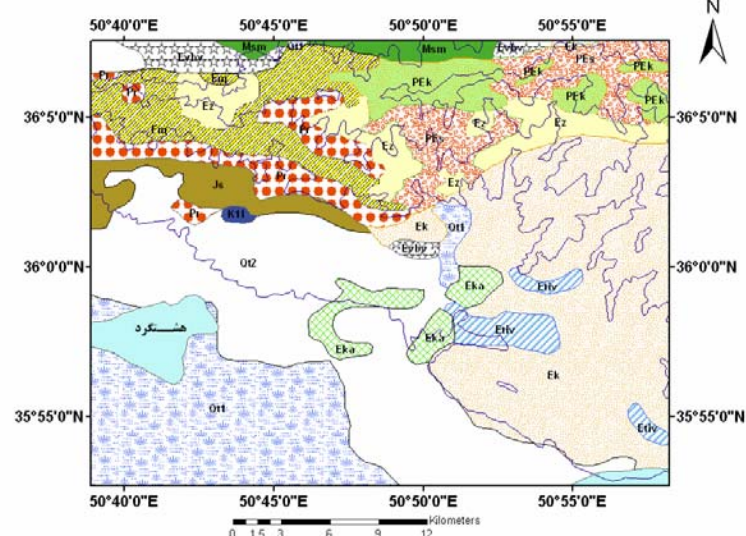
pH

(Herrero et al., 1992)

- ( ) ° / ' ° / ' ° / ' ° / ' )  
 - ( ) ° / ' ° / ' ° / ' ° / ' )  
 - ( )

### Legend

- [C] CCom
- [E] E2s
- [A] Eat
- [E] Eay
- [E] Ebv
- [E] Ek
- [E] Ek,a
- [E] K2c
- [P] Pd
- [P] Plgr-di
- [P] Pr
- [Q] Qft1
- [Q] Qft2
- [P] pC-Cs
- [P] pCk



BX51 Olympus /  
(XPL) (PPL) (Loeppert, and Suarez, 1996)

(Stoops, 2003)

DTPA

USDA-NRCS, )

( -AA)

Shimadzu

(USDA-NRCS, 2004)

(2004)

Jenway

pH

pH EC

(Kunze & Dixon,

1986)

(USDA-NRCS, 2004)

(Dixon and Weed,

1989)

( ) %

%

%

D-5000

X

%

( )

( )

(Stoops, 2003)

( ) ( )

( )

%

( )

%

( )

( )

( )

pH

Clay

Sandy

Clay

Loam

( / / ) ( / / ) ( / / )

%

%)

( % % )

cm

( % )

%

%

%

(m)

%

\*

\*\*

%

cm

/

## Loamy-skeletal, carbonatic, thermic, Calcic Petrocalcids

1vf/f	1fgr	1	1vf	Ap	
1vf/f	3cabk	c	2vf	Bw	P1
-	2msbk	cl	1vf	Bk1	N °
-	2msbk	l	1vf	Bk2	E °
-	Massive	c	-	BCkm	

## Loamy-skeletal, carbonatic, thermic, Calcic Petrocalcids

2vf/f	2vf/fgr	1	3vf	Ap1	P2
1vf/f	2vf/f/gr	cl	2vf	Ap2	N °
-	Massive	cl	-	BCk	E °
-	Massive	1	-	BCkm	

## thermic, Calcic Petrocalcids Clayey-skeletal, carbonatic,

2f/m	Massive	cl	2vf/f	Ap	P3
2f/m	2msbk	l	2vf/f	Bw	
1f	2msbk	c	1f pendants	Bk	N °
-	Massive	c	- pendants	Bkm	E °
-	Massive	c	- cemented	Ckm	

## thermic, Lithic Haploxerepts , mixed (superactive), Loamy-Skeletal

( )										A	P4
	2vf/m	2m/fgr	sl	2vf/f		coating	ABk	N			
>	1vf/m	1fgr	sl	1vf			Cr	E			
Typic Haplocalcids thermic, mixed (superactive), Coarse-Loamy,											
	2vf	-	sl	2vf					Ap		P5
	2vf/f	1fgr	sl	2vf/f					Bk1	N	
	2vf/c	1csbk	sl	2f/m					Bk2	E	
	1c/m	2csbk	sl	1f	+				Bky		
Typic Haplocalcids thermic, , mixed (superactive), Loamy-Skeletal											
	2c/f	1mgr	sl	1vf/f					A		
	2c/f	1mgr	c	1vf/f					AB		P6
	1m	1sbk	sl	2f					Bk1	N	
	-	1sbk	sl	2f	<				Bk2	E	
	-	massive	-	-	>				C		

\*\* f: fine, m: medium, c: coarse; 1: weak,

\*vf: very fine, f: fine, m: medium, 1: few 2: common, 3: many.

2: moderate, 3: strong, gr: granular, sbk: subangular blocky, abk: angular blocky.

CCE <sup>**</sup> %	ACCE <sup>**</sup> %	EC (dS/m)	pH	OM %	me/l Cl <sup>-</sup>	آبیون‌های محلول HCO <sub>3</sub> <sup>-</sup>	آبیون‌های محلول CO <sub>3</sub> <sup>2-</sup>	کاتیون‌های محلول/1 K <sup>+</sup>	Na <sup>+</sup>	Mg <sup>2+</sup>	Ca <sup>2+</sup>	% توزیع اندازه ذرات Sand	Silt	Clay	بروفیل عمق cm
۴۲/۵۳	۲/۷	۲/۴۸	۸/۲	-/۶۸	۷/۲۵	۹/۸۵	.	-/۱۹	۵/۷۴	۱/۶	۷/۲	۴۱/۰۸	۲۶	۲۲/۹۲	۰-۱۳ P <sub>1</sub>
۳/۱۲	۰/۹۳	۱/۷۴	۸/۰۲	-/۶۷	۹/۵	۶/۵۵	.	-/۶۵	۹/۲۱	۳/۴	۵/۶	۳۵/۰۸	۳۰	۳۴/۹۲	۱۳-۲۷
۴۶/۲۹	۱/۲۶	۱/۶۲	۸/۰۳	-/۵۱	۹/۱	۶/۵۵	.	-/۲۴	۷/۱۲	۲/۴	۵	۲۵/۰۸	۳۰	۴۴/۹۲	۲۷-۵۵
۴۰/۷۴	۱/۱۱	۱/۵۸	۸/۰۱	-/۲۴	۹/۹	۶/۳۵	.	-/۳۰	۸/۰۶	۲/۳	۵/۳	۳۵/۰۸	۳۰	۳۴/۹۲	۵۵-۸۰
۴۸/۷۴	۶/۳۰	۱/۷۶	۸/۰۲	-/۱۷	۷/۸	۶	.	-/۱۵	۶/۵۴	۲/۴	۴/۸	۶۱/۰۸	۲۴	۱۴/۹۲	۸۰-۱۶۰
۱۷/۹۲	۳/۹۴	۱/۷۶	۸/۲۵	۱/۳۷	۱-/۲	۴/۹	.	-/۷۶	۸/۰۶	۲/۴	۳/۴	۳۷/۰۸	۲۸	۲۴/۹۲	۰-۱۵
۱۶/۶۶	۴/۲۸	۱/۷۳	۸/۲۳	۱/۲۵	۱-/۰	۴/۸	.	-/۷۸	۸/۷۳	۲/۸	۳/۴	۳۵/۰۸	۳۰	۳۴/۹۲	۱۵-۳۰
۴۰	۹	۱/۹۲	۷/۹۸	-/۵۸	۱-/۹	۴/۲۵	.	-/۴۷	۸/۴۹	۳/۱	۳/۱	۴۵/۹۶	۲۲	۳۲/۹۲	۳۰-۵۰
۵۰/۱۳۷	۱۱/۲۵	۱/۷۲	۸/۰۲	-/۲۷	۱-/۴	۴/۱۵	.	-/۶۶	۸/۲۸	۲/۲	۳/۸	۴۷/۹۶	۲۸	۲۴/۹۲	۵۰-۱۰۰
۲۲/۷۴	۷/۰۹	۱/۵۸	۸/۲۲	-/۹۲	۷/۹	۴/۸۵	.	-/۴۳	۵/۴۶	۰/۴	۶/۴	۳۳/۹۶	۳۴	۳۲/۰۴	۰-۱۸ P <sub>2</sub>
۲۳/۷	۱/۳۸	۱/۶۰	۸/۲۱	-/۱۸۴	۹/۳	۳/۹	.	-/۳۲	۵/۴۶	۲	۵/۲	۲۹/۹۶	۲۸	۴۲/۰۴	۱۸-۳۲
۴۴/۴۴	۱/۰۰	۱/۸۲	۸/۰۳	-/۳۴	۱-/۶	۳/۱	.	-/۳۹	۶/۸۸	۱/۲	۵/۴	۱۹/۰۸	۳۶	۵۴/۹۲	۳۲-۵۵
۵۲	۳/۹۵	۱/۲۴	۷/۸۹	-/۳۲	۱-/۲	۳/۴	.	-/۳۵	۶/۵۹	۲/۲	۴	۱۷/۰۸	۳۶	۵۶/۹۲	۵۵-۷۵
۶۱/۱۸	۱۲/۹۴	۱/۸۹	۷/۸۷	-/۲	۱۳/۵	۲/۱۵	.	-/۵۲	۶/۸۸	۲/۸	۵/۲	۲۷/۰۸	۳۶	۴۶/۹۲	۷۵-۱۵۰
۱۵/۱۳	۱/۸۹	۱/۵۶	۷/۸۹	-/۱۸۹	۹/۱	۳/۱۵	.	-/۷۷	۴/۴۷	۳/۸	۳/۴	۶۹/۰۸	۲۰	۱۰/۹۲	۰-۹ P <sub>4</sub>
۱۶/۵۹	۱/۱۳	۱/۶۲	۸/۰۳	-/۳۶	۹/۶	۳/۷۵	.	-/۷۸	۵/۵۹	۲/۸	۵/۶	۶۷/۹۶	۲۰	۱۲/۰۴	۹-۲۵
۱۷/۹۲	۱/۳۶	۱/۳۹	۸/۲۱	-/۲۷	۹/۸	۳/۵	.	-/۷۲	۵/۶۸	۱/۴	۴/۲	۶۷/۰۸	۱۸	۱۴/۹۲	۲۵-۳۵
۱۴/۵۱	۳/۳۸	۲/۰۲	۸/۰۵	-/۹۹	۱۸/۷۵	۷	.	-/۸۰	۵/۶۳	۵/۲	۱۳/۸	۵۳/۹۶	۲۸	۱۸/۰۴	۰-۱۰ P <sub>5</sub>
۱۳/۴۲	۴/۷۳	۲/۱۶	۷/۷۷	-/۷۰	۱۷	۷/۵	.	-/۹۶	۵/۰۴	۴/۶	۱۴/۲	۵۹/۰۸	۲۶	۱۴/۹۲	۱۰-۴۰
۱۵/۵۵	۱/۰۱	۲/۰۹	۷/۸۲	-/۴۴	۱۷/۵۴	۷/۸	.	-/۱۳	۵/۳۰	۴/۲	۱۵/۸	۶۱/۰۸	۲۴	۱۴/۹۲	۴۰-۶۰
۱۵	۲/۸۱	۲/۷۴	۷/۸۱	-/۲۵	۱/۲	۷/۶	.	-/۱۳	۵/۸۳	۴/۴	۱۴/۶	۵۹/۰۸	۲۶	۱۴/۹۲	۸۰-۱۰۰
۲۱/۰۲	۲/۸۱	۱/۶۸	۷/۹۰	-/۱۷۲	۴	۴/۶۵	-/۲	-/۴۵	۳/۷۵	۲/۲	۱۲/۲	۵۹/۰۸	۲۴	۱۶/۹۲	۰-۱۰ P <sub>6</sub>
۲۴/۲۹	۳/۳۸	۱/۶۶	۸/۲۳	-/۱۶	۸	۷	.	-/۲۸	۵/۳۲	۲/۸	۶/۴	۲۵/۰۸	۲۸	۴۶/۹۲	۱۰-۲۰
۱۹/۸۲	۳/۰۴	۲/۷۱	۷/۹	-/۴۱	۸/۶	۶/۸۵	.	-/۱۹	۷/۱۲	۳/۲	۵/۲	۵۵/۰۸	۲۸	۱۶/۹۲	۲۰-۶۰
۲۰/۴۴	۲/۹۴	۲/۵۹	۷/۷۷	-/۲۴	۱۹/۶	۷/۴۵	-/۲	-/۶۰	۸/۹۶	۳/۶	۱۴/۴	۵۹/۰۸	۲۶	۱۶/۹۲	۶۰-۱۱۰
۱۷/۱۸	۲/۱۴	۲/۲۵	۷/۷۸	-/۱۷	۱۸/۶۰	۴/۱۵	.	-/۲۸	۹/۵۰	۲/۷	۱۰/۳	۳۷/۰۸	۲۲	۴/۹۲	>11.

\* ACCE: Active Calcium Carbonate Equivalent; \*\* CCE: Calcium Carbonate Equivalent

				Pedofeatures													
/	(cm)	<sup>a</sup> c/f <sub>rd</sub>	c/f (limit)	<sup>b</sup> b-fabric		Fe/Mn nODULES	Orthic CaCO <sub>3</sub>	Sparite	Inherited	Impregnative nODULES	CaCO <sub>3</sub> depletion	Infilling	Excrements	<sup>c</sup> Void types	Micro <sup>d</sup> Structure	<sup>e</sup> Rock fragments	Fine mass
<b>1- Calcic Petrocalcids</b>																	
Ap,	sse	60/40 (10 μm)	cr	+	+	+	+	+	+	+	+	-	vug., cham., chan., pla.	Gr./pla.	Gr., Op., Barite, carbonate	Imp. Carbonate, micrite, sparite	
Bk1,	sse	50/50 (10 μm)	cr/ss	-	+	+	+	-	-	+	-	-	vug., cham., chan., pla.	Gr.	Op., carbonate	micrite, sparite	
Bk2,	sse/mo	70/30 (10 μm)	cr	+	-	+	+	+	+	-	-	-	vug., cham., chan., pla.	Ba., gr.,sa., Pla., sbk	Op., carbonate	Imp. Carbonate, micrite, sparite	
BCkm,	ce	70/30 (10 μm)	cr/ss	+	-	+	+	+	+	-	+	vug., chan.	Ma.	Gr., Op., Barite, carbonate	sparite		
<b>2- Calcic Petrocalcid</b>																	
Ckm,	ssp	30/70 (50 μm)	ss/gr/po	+	+	+	-	+	+	+	+	-	vug., chan.	Gr./ Ma.	Op., carbonate	micrite, sparite	
<b>3- Lithic Haploxerepts</b>																	
ABk,	60/40 (5 μm)	gr/po	+	+	+	+	+	-	+	-	vug., cham., chan	Gr.	Op., carbonate	Imp. Carbonate, micrite, sparite			

<sup>a</sup>c/f: related distribution pattern (sse: single spaced enaulic, ssp: single spaced porphyric, ce: close enaulic, cxg: convex gefuric); <sup>b</sup> b-fabrics: (gr: granostriation, po: porostriation, ss: stipe speckled, cr: crystallitic); <sup>c</sup> void types: (<sup>a</sup>vug.: Vugh, cham.: Chamber, chan.: Channel, pla. Planar), <sup>d</sup> microstructures: (sbk.: Subangular blocky, ma.: Massive, gr.: Granular), <sup>e</sup> Rock fragments:

(ba.: Basalt, Gr.: Granite, sa.: Sand stone, Op: Opaque)

cm

a

b

## 2- Loamy-skeletal, carbonatic, thermic, Calcic Petrocalcids

0-15 Ap<sub>1</sub> Smec.>Ver.>Chl.>Ill.>Kao. no./co./sp./mi. Calcite  
15-30 Ap<sub>2</sub> Smec.>Ver.>Kao.>Ill.

## 4- Loamy-skeletal , mixed(superactive), calcareous , thermic, Lithic Haploxerepts

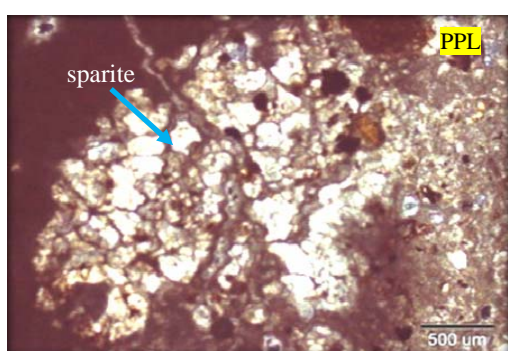
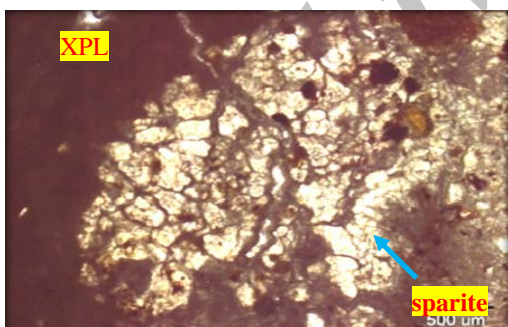
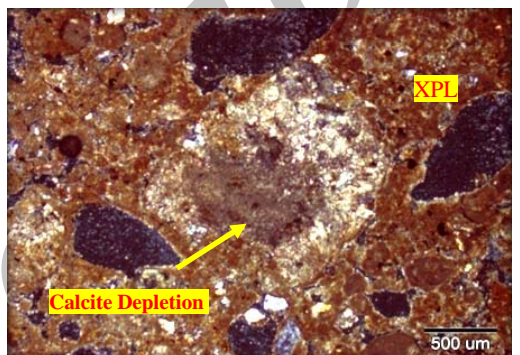
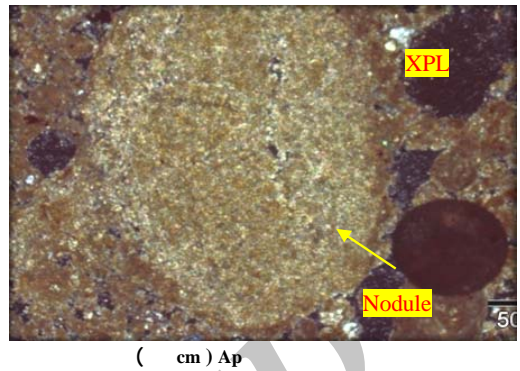
0-9 A Smec.>>Chl.>Kao.>Ver.>Ill. Ca/Mg  
9-25 ABk Smec.>>Chl.>Kao. >Ill. no./co./ne./sp./mi Carbonate

<sup>a</sup>Smec.: Smectite, Chl.: Chlorite, Ill.: Illite, Kao.: Kaolinite, Ver.: Vermiculite; <sup>b</sup>no.: nodule, co.: coating, ne.: needle- shaped calcite, sp.: sparite, mi.: micrite.

( )

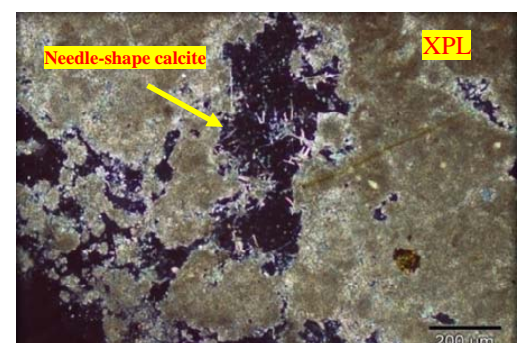


Ckm PPL XPL



PPL XPL

Ckm



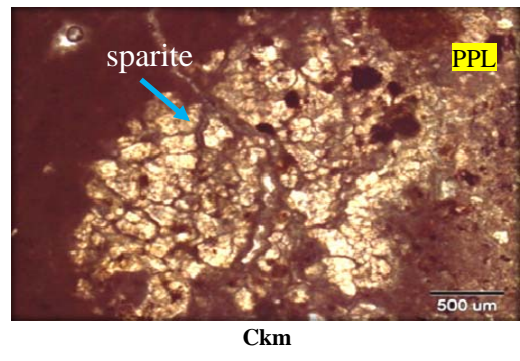
Bk2 XPL ( cm )  
Ckm ( ) : ( cm )  
PPL XPL

: ( cm ) Ckm

(Moore

cm

.& Reynolds, 1989)



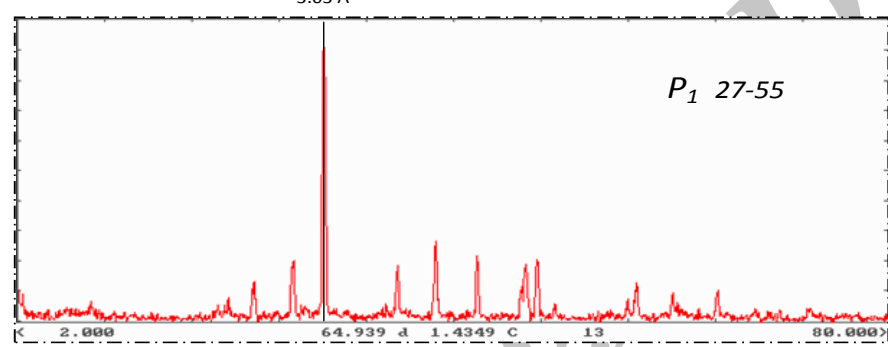
.(Moore & Reynolds, 1989)

Ckm

PPL

3.03 Å

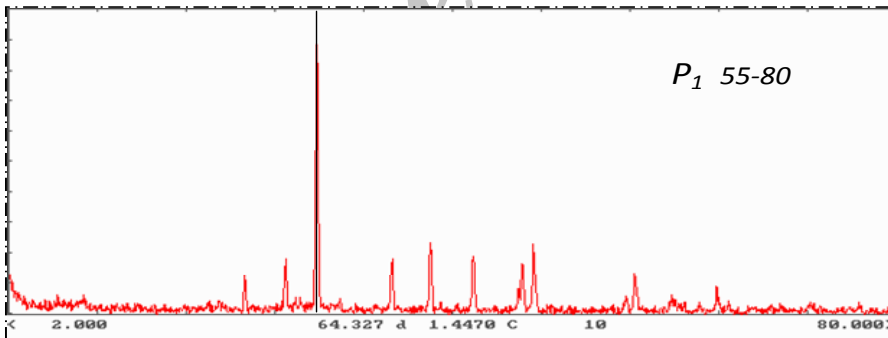
$P_1$  27-55



Bk1

3.07 Å

$P_1$  55-80

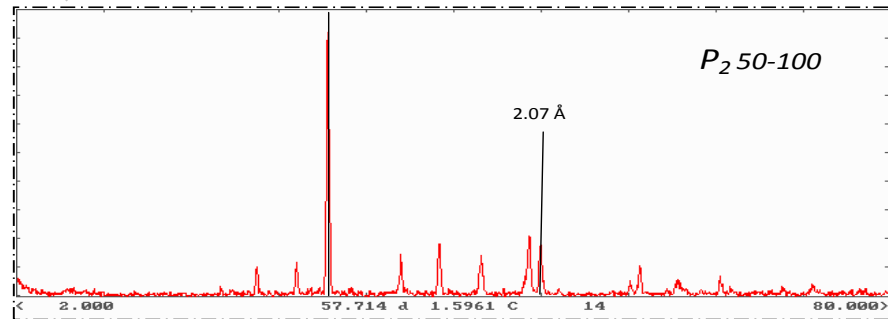


Bk2

2.99 Å

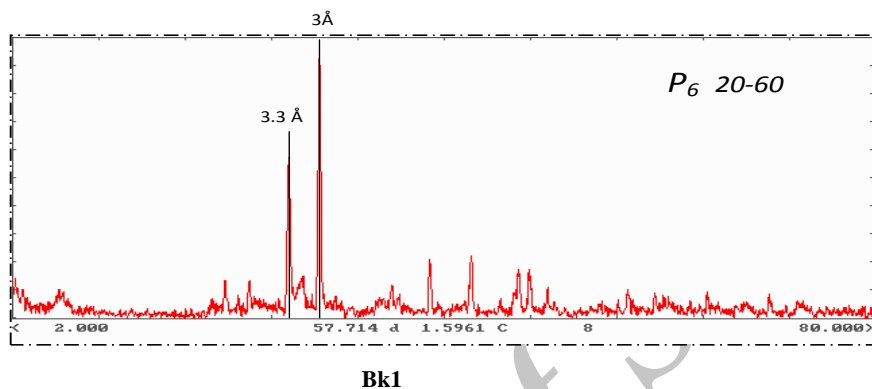
$P_2$  50-100

2.07 Å



BCkm

1  
/  
/  
/  
(Moore & Reynolds, 1989) (Moore & Reynolds, 1989)



.(Moore & Reynolds, 1989)

( )

( )

)

(

(

( )

)

.(Wang et al., 2000)

)

## REFERENCES

- Blank, R. R., and Fosberg, M. A. (1990). Micromorphology and classification of pedogenic calcium carbonate accumulations that surround or occur on the undersides of coarse fragments in Idaho (USA). In: Douglas, L. A., (Ed.), *Soil Micromorphology: a basic and applied science, Development in soil science*. 19. Elsevier, Amsterdam, pp:341-346.
- Bronger, A., Bruhn lobin, N., and Heinkele, Th. (1994) Micromorphology of paleosols genetic and paleoenvironmental deductions, In: Ringrose Voase, A. J. Humphreys, G. S., *case studies from central China, South India, N W Morocco and the Great Plains of the USA*, PP: 187-206.
- del Campillo, M. C., Torrent, J., and Loeppert, R. H. 1992, The reactivity of carbonates in selected soils of Southern Spain. *Geoderma*, 52, 149-160.
- Dixon, J. B., Weed, S. B. (1989) Minerals in Soil Environments, *Soil Science Society of America*, Madison, WI. (Vol? ????)
- Goss, D. W., Smith, S. J., and Stewart, B. A. (1973). Movement of added clay through calcareous materials. *Geoderma*, 9, 97-103.
- Herrero, J., Porta, J., and Fedoroff, N. (1992) Hypergypsic soils. Micromorphology and landscape relationship in Northeastern Spain. *Soil Science Society of American Journal*, 56, 1188-1194.
- Jacks, G., and Sharma, V.P. (1995). Geochemistry of calcite horizons in relation to hill slope processes, Southern India, *Geoderma*, 67, 203-214.
- Kendall, C., and McDonnell, J.J. (1988) *Isotope tracers in catchment hydrology*, Elsevier Science B.V., Amesterdam. Pp. 51-88.
- Khademi, H., and Mermut, A. R. (1999) Submicroscopy and stable isotope geochemistry of carbonates and associated palygorskite in Iranian Aridisols. *European Journal of Soil Science*. 50, 207-216.
- Kunze, G. W., Dixon, J. B., 1986, Pretreatment for mineralogical analysis. In: A. Klute (ed.), *Methods of soil analyses*. Part1. Physical and mineralogical methods. 2<sup>nd</sup> edition. Madison, USA.
- Loeppert, R. H., and Suarez, D. L. (1996). Carbonate and gypsum. In: Bigham, J. M., Bartels, J. M., (eds.) *Methods of soil Analysis*, Part 3, Chemical Methods, SSSA, ASA, Madison, Wisconsin, Etats-Unis, 437-474.
- Manafi, Sh. (2004). *Soil carbonates*, PhD. Seminar. Soil sci. Dept. of University of Tehran, (In Farsi)
- Miller, J.J., Dudas, M.J., and Arnaud, F. J. ST. (1985) The effect of ground water on soil formation in a morinal landscape in Saskatchewan, Canadian Journal of Soil Scince, 65, 293-307.
- Moore, D. M., and Reynolds, R. C. (1989) *X-Ray Diffraction and the Identification and Analysis of Clay Minerals*. Oxford University Press.
- Nordt, L. C., Wilding, L. P., and Drees, L. R. (2000) Pedogenic carbonate transformation in leaching soil systems: implications for the global C cycle. In: Lal, R., Kimble, J., Mtmet, A., Eswaran, H., Scharpenseel (Eds.), *Global climate change and pedogenic carbonates*. Lewis publishers, Florida, pp, 43-46.
- Reynders, J. J. (1972). A study of argillic horizons in

- ...  
some soils of Morocco. *Geoderma*, 8, 267-279.
- Sehgal, J. L., and Stoops, G. (1972). Pedogenic calcic accumulation in arid and semiarid regions of the Indo – Gangetic alluvial plain of the erstwhile Punjab (India). Their morphology and origin. *Geoderma*, 8, 59-72.
- Srivastava, P. (2001) Paleoclimatic implications of pedogenic carbonates in Holocene soils of the Gangetic Plains, India. *Palaeogeogr. Palaeoclimatol. Palaeoecol.* 172, 207-222.
- Stoops, G. (2003) *Guidelines for the Analysis and description of soil and regolith thin sections*. SSSA., Madison, WI.
- Timpson, M. E., Lee, S. Y., Annon, J. T., and Foss, J. E. (1996). Mineralogical investigation of soils formed in calcareous gravelly alluvium, eastern Crete, Greece. *Soil Science Society of American Journal*. 60, 299-308.
- Treadwell, C., and McFadden, L. D., (2000). Influence of parent material and grain size on carbonate coating in gravelly soils. Palo Duro Wash, New Mexico. *Geoderma*, 94, 1-22.7
- USDA-NRCS, 2004. Soil survey laboratory methods manual. *Soil survey investigations report*, No 42. Version 4.0, 735 p.
- Wang, D., and Anderson, D. W. (1998). Stable carbon isotopes of carbonates pendants from Chernozomic soils of Saskatchewan, Canada. *Geoderma*, 84, 309-322.
- Wang, D., and Anderson, D.W. (2000) Pedogenic carbonate in chernozomic soils and landscapes of Southern Saskatchewan, Canadian Journal of Soil Science. 80, 251-261.
- West, L. T., Drees, L. R., Wilding, L. P., and Rabenhorst, M. C. (1988). Differentiation of pedogenic and lithogenic carbonate forms in Texas. *Geoderma*, 43, 271-287.
- Wieder, M., and Yaalon, D. H. (1982), Micromorphological fabrics and developmental stages of carbonate nodular forms related to soil characteristics. *Geoderma*, 28, 203-220.